

Optika

Svetska godina svetlosti 2015



Medicina

Komunikacije

Ekonomija

Okolina

Društvo



Svetska godina svetlosti



The resolution was adopted in Committee on 3 December 2013 with many co-sponsors, and subsequently adopted at the General Assembly by unanimous acclamation.

United Nations

A/RES/68/221



General Assembly

Distr.: General
12 February 2014

Sixty-eighth session
Agenda item 21 (b)

Resolution adopted by the General Assembly on 20 December 2013

[on the report of the Second Committee (A/68/440/Add.2)]

**68/221. International Year of Light and Light-based Technologies,
2015**

Primene svetlosti u tehnici

- Prenos informacija
- Senzori
- Prenos energije

$$c = \frac{1}{\sqrt{\mu_0 \epsilon_0}} \equiv 299792458 \text{ m / s}$$

Pointingov vektor

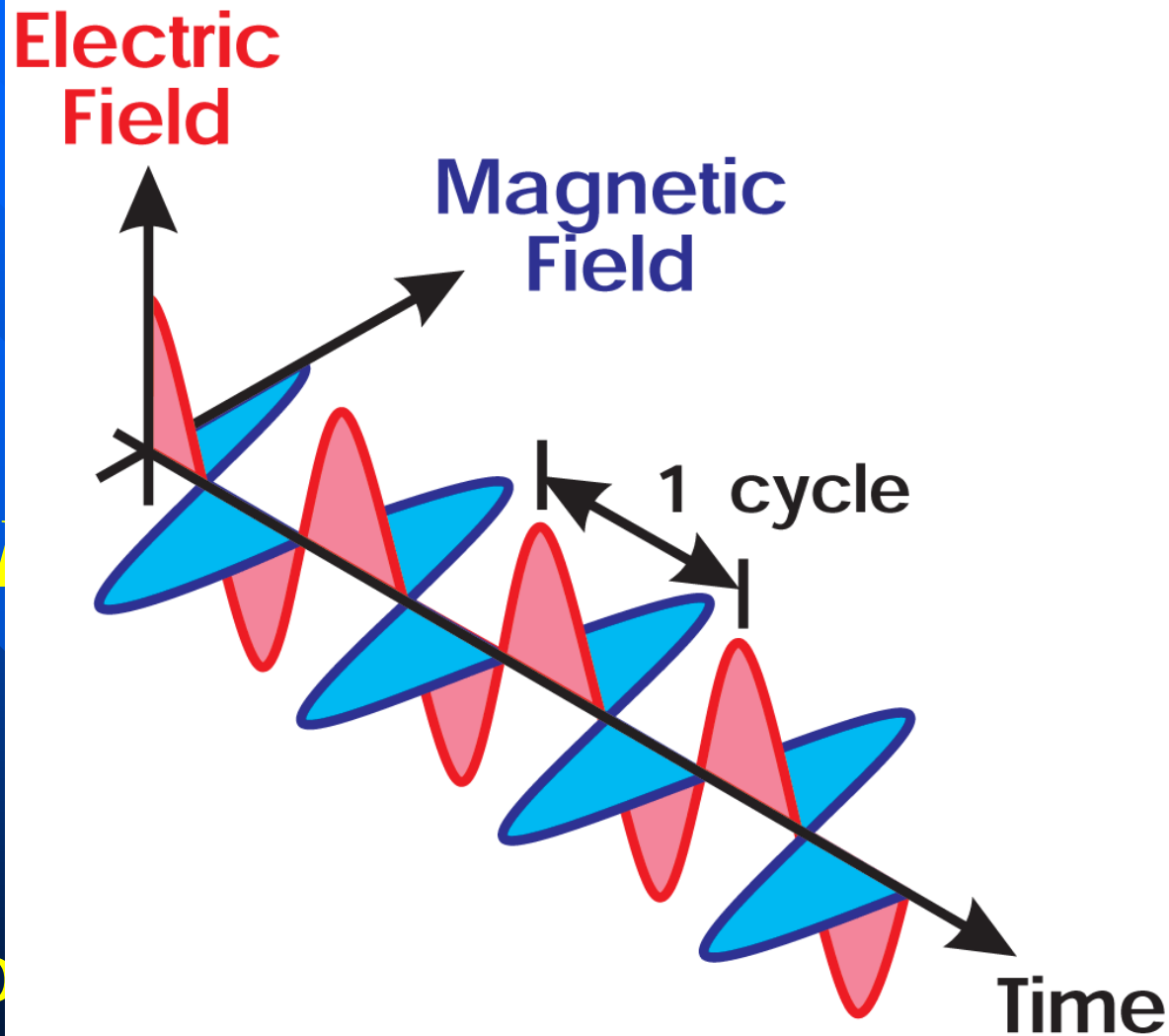
$$\vec{S} = \frac{1}{\mu_0} \vec{E} \times \vec{B}$$

Iradijansa:

$$I = \langle S \rangle_T = \frac{c\epsilon_0}{2} E_0^2$$

Fotonski fluks:

Φ



Electromagnetic wave

Stanja polarizacije svetlosti

- Za ravanski talas koji se prostire u smeru z ose važi:

$$\vec{E}_x(z, t) = \vec{e}_x E_{0x} \cos(kz - \omega t)$$

$$\vec{E}_y(z, t) = \vec{e}_y E_{0y} \cos(kz - \omega t + \varepsilon)$$

ε relativna fazna razlika između komponenata

k talasni broj duž z ose

Stanja polarizacije svetlosti

Za $\varepsilon=2m\pi$, $m\in\mathbb{Z}$, dobijamo linearno polarizovanu svetlost:

$$\vec{E}(z,t) = \vec{E}_x + \vec{E}_y = (\vec{e}_x E_{0x} + \vec{e}_y E_{0y}) \cos(kz - \omega t)$$

$E_{0x}=E_{0y}=E_0$ i $\varepsilon=\pi/2$ dobijamo cirkularno polarizovanu svetlost:

$$\vec{E}_x(z,t) = \vec{e}_x E_0 \cos(kz - \omega t) \quad \vec{E}_y(z,t) = \vec{e}_y E_0 \sin(kz - \omega t)$$

$$\vec{E}_R = E_0 \left[\vec{e}_x \cos(kz - \omega t) + \vec{e}_y \sin(kz - \omega t) \right]$$

$$\vec{E}_L = E_0 \left[\vec{e}_x \cos(kz - \omega t) - \vec{e}_y \sin(kz - \omega t) \right]$$

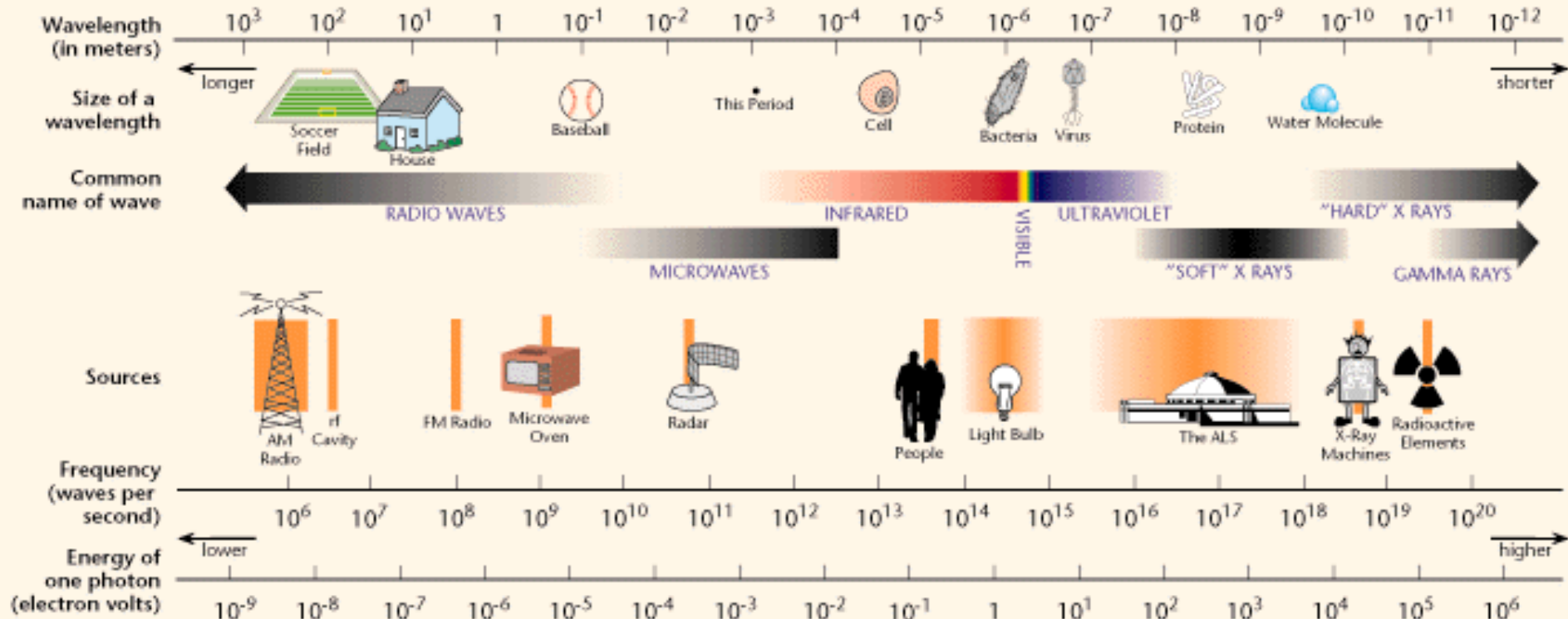
Linearno polarizovana svetlost

- Pravac vektora električnog polja je konstantan iako se intenzitet i smer menjaju u vremenu
- Može se predstaviti kao superpozicija levo i desno cirkularno polarizovane svetlosti



Elektromagnetni spektar

THE ELECTROMAGNETIC SPECTRUM

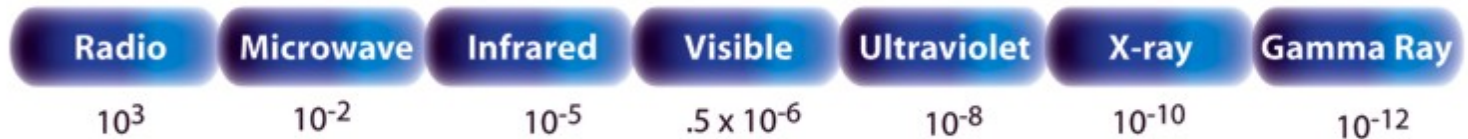


THE ELECTROMAGNETIC SPECTRUM

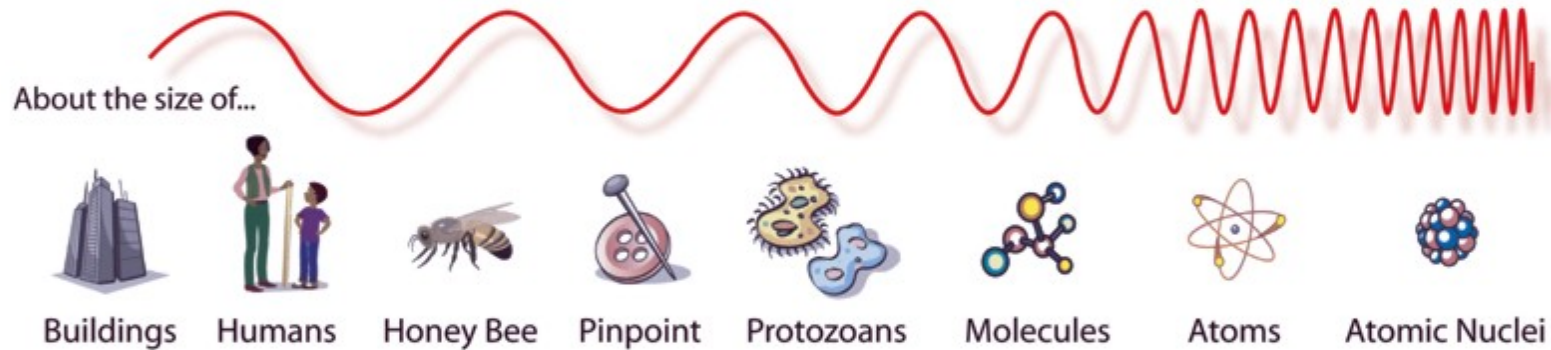
Penetrates Earth Atmosphere?



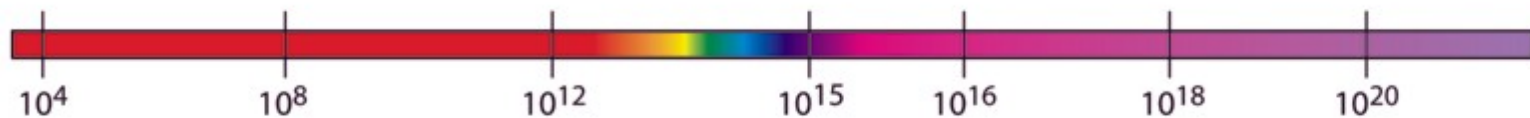
Wavelength (meters)



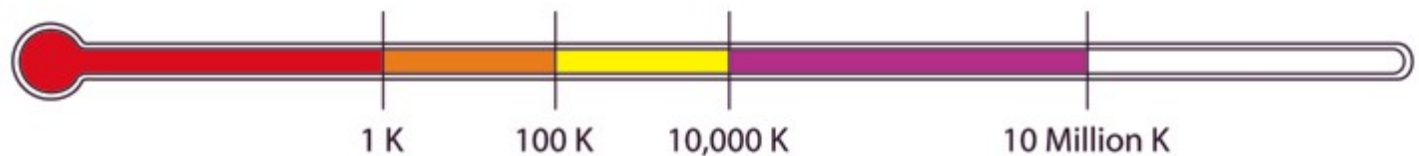
About the size of...



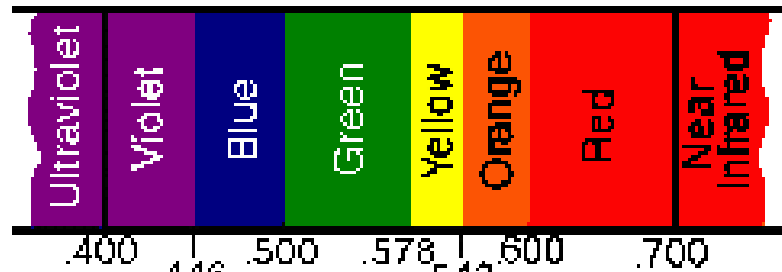
Frequency (Hz)



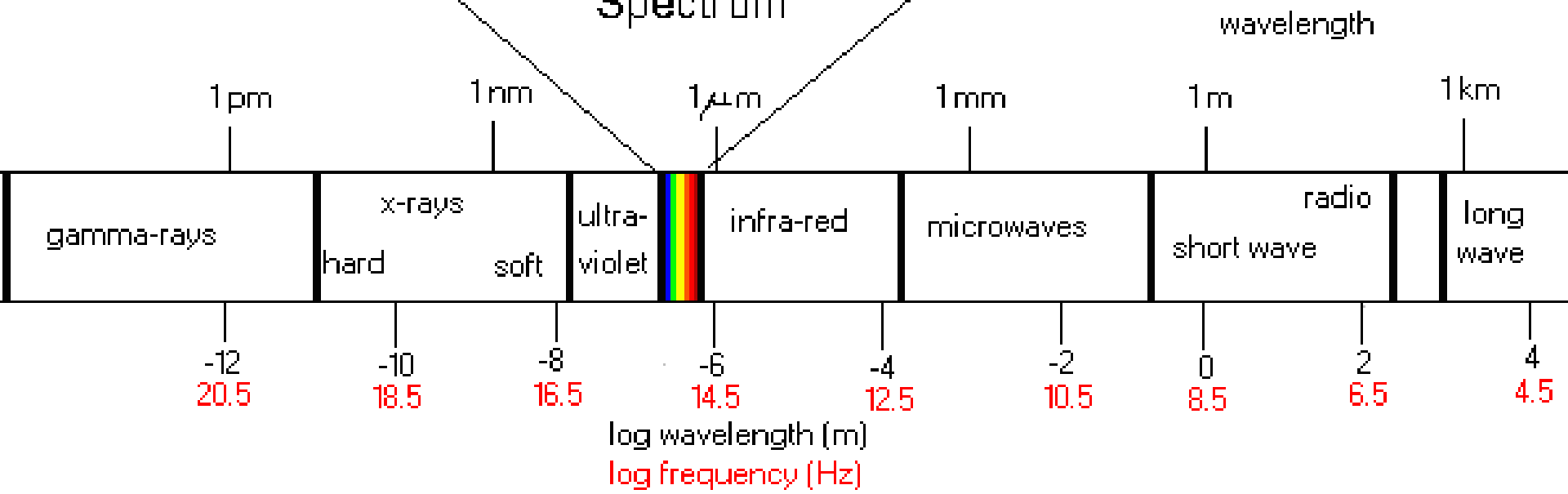
Temperature of bodies emitting the wavelength (K)



Vidljiva svetlost



Visible Spectrum

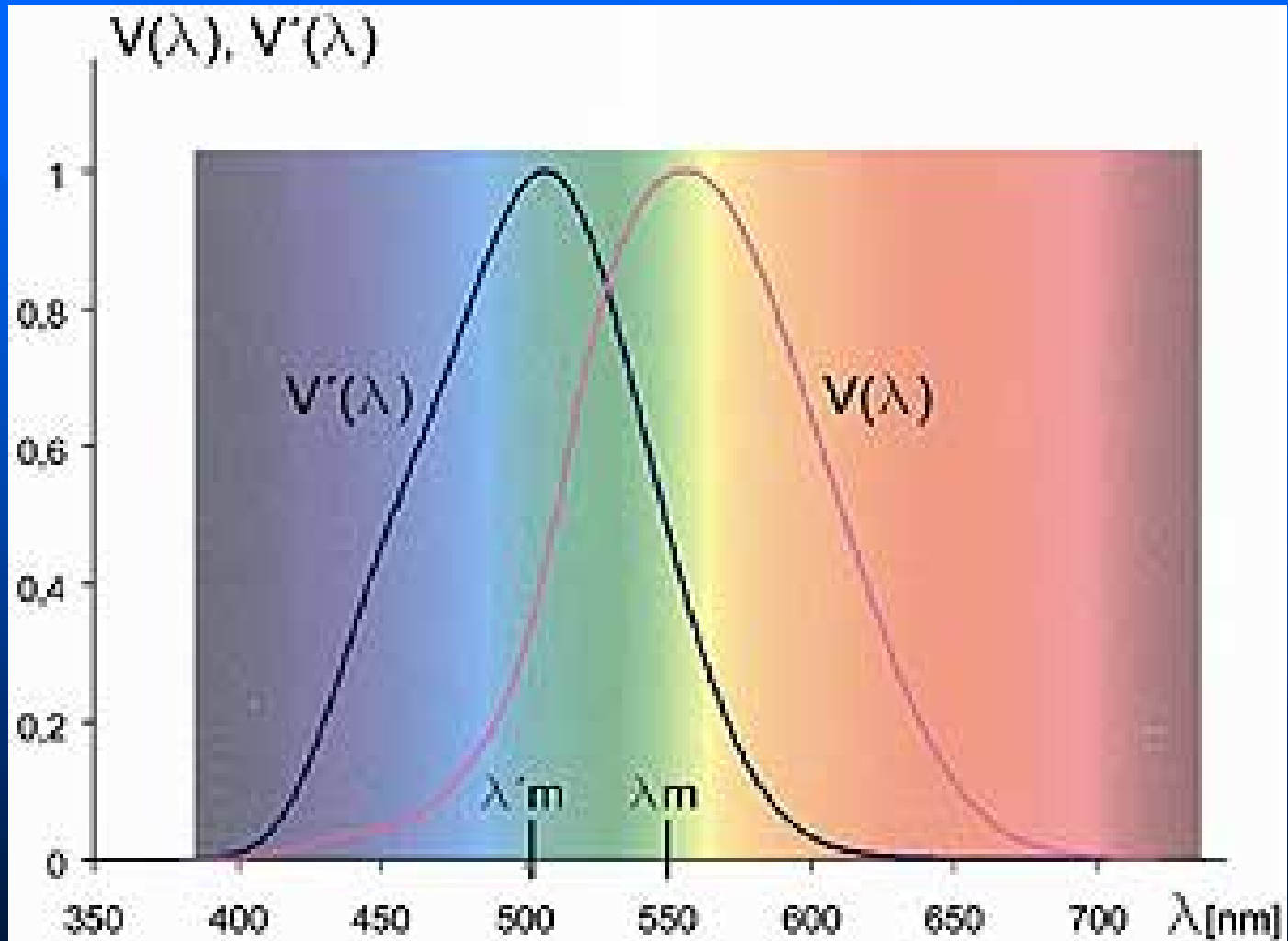


Vidljiva svetlost

| Boja | λ [nm] | ν [THz] |
|------------|----------------|-------------|
| Crvena | 780-622 | 384-482 |
| Oranž | 622-597 | 482-503 |
| Žuta | 597-577 | 503-520 |
| Zelena | 577-492 | 520-610 |
| Plava | 492-455 | 610-659 |
| Ljubičasta | 455-390 | 659-769 |

$$\lambda = c/\nu$$

Osetljivost ljudskog oka



Interakcija svetlosti sa materijom

$$v = \frac{1}{\sqrt{\mu\varepsilon}} = \frac{1}{\sqrt{\mu_0\varepsilon_0}} \frac{1}{\sqrt{\mu_r\varepsilon_r}} = \frac{c}{\sqrt{\mu_r\varepsilon_r}} \equiv \frac{c}{n}$$

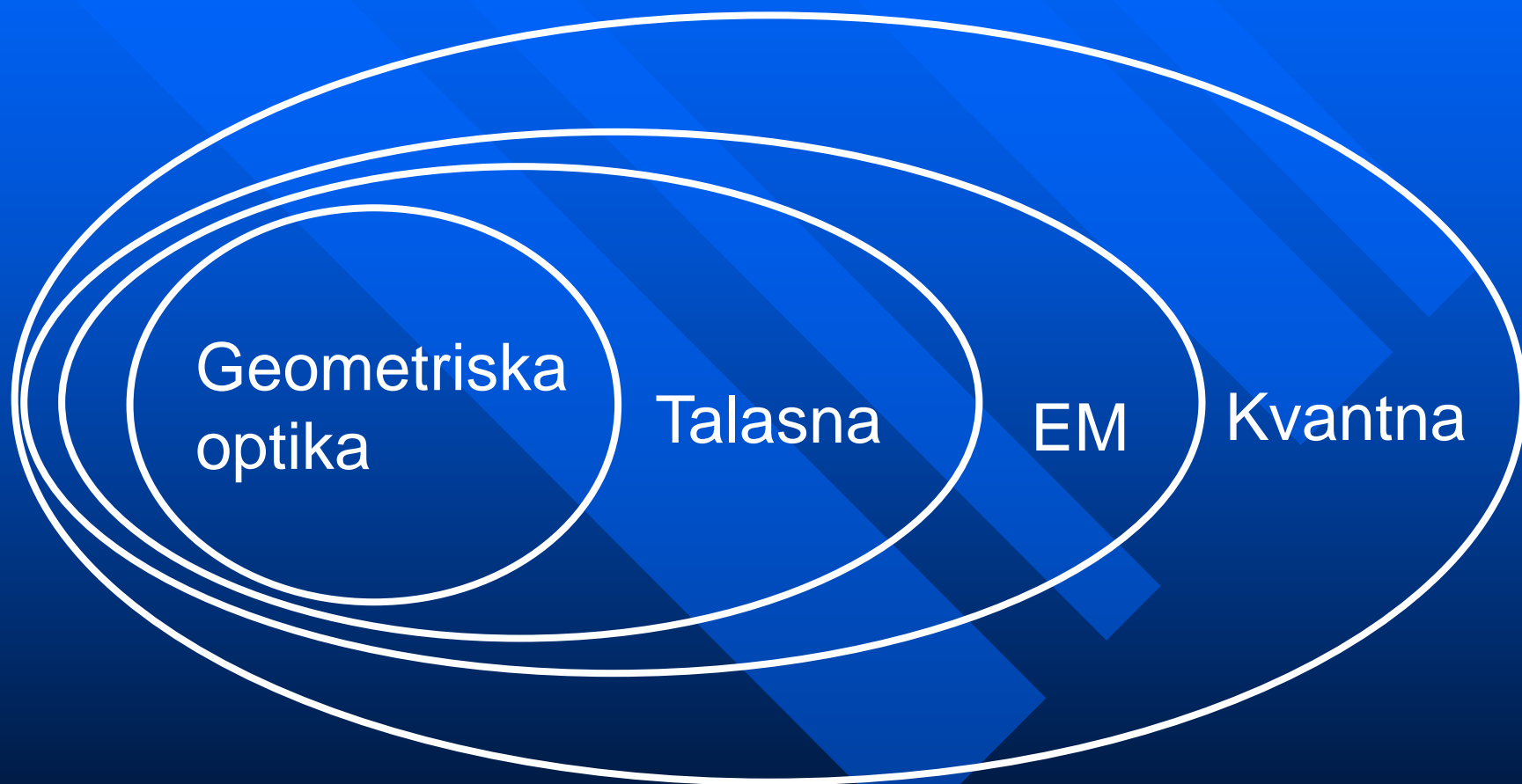
Za dielektrike: $\mu_r \rightarrow 1 \Rightarrow n = \sqrt{\varepsilon_r}$

$$n = n(\lambda)$$

Disperziona relacija

Košijev zakon
$$n = a + \frac{b}{\lambda^2} + \frac{c}{\lambda^4} + \dots$$

Pristupi razmatranja svetlosti



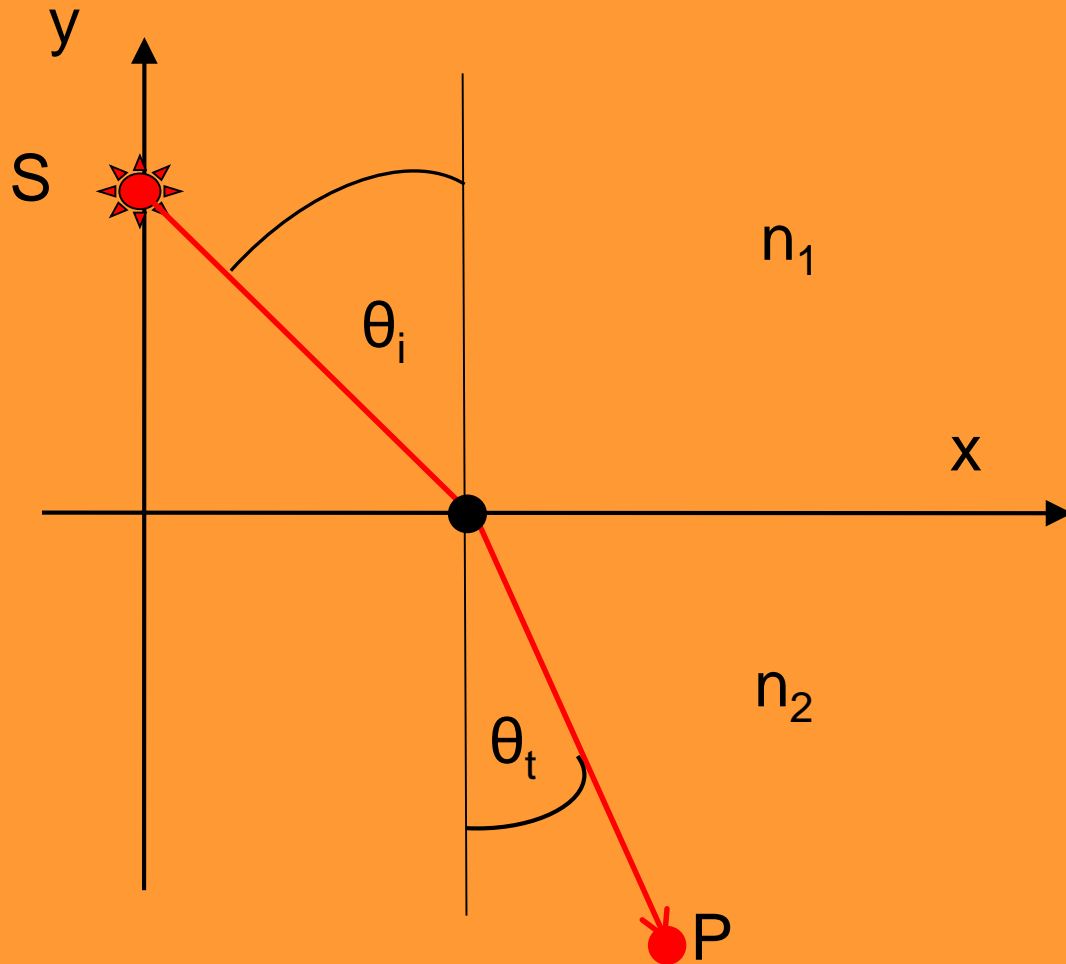
Geometriska optika

$$\lambda \rightarrow 0$$

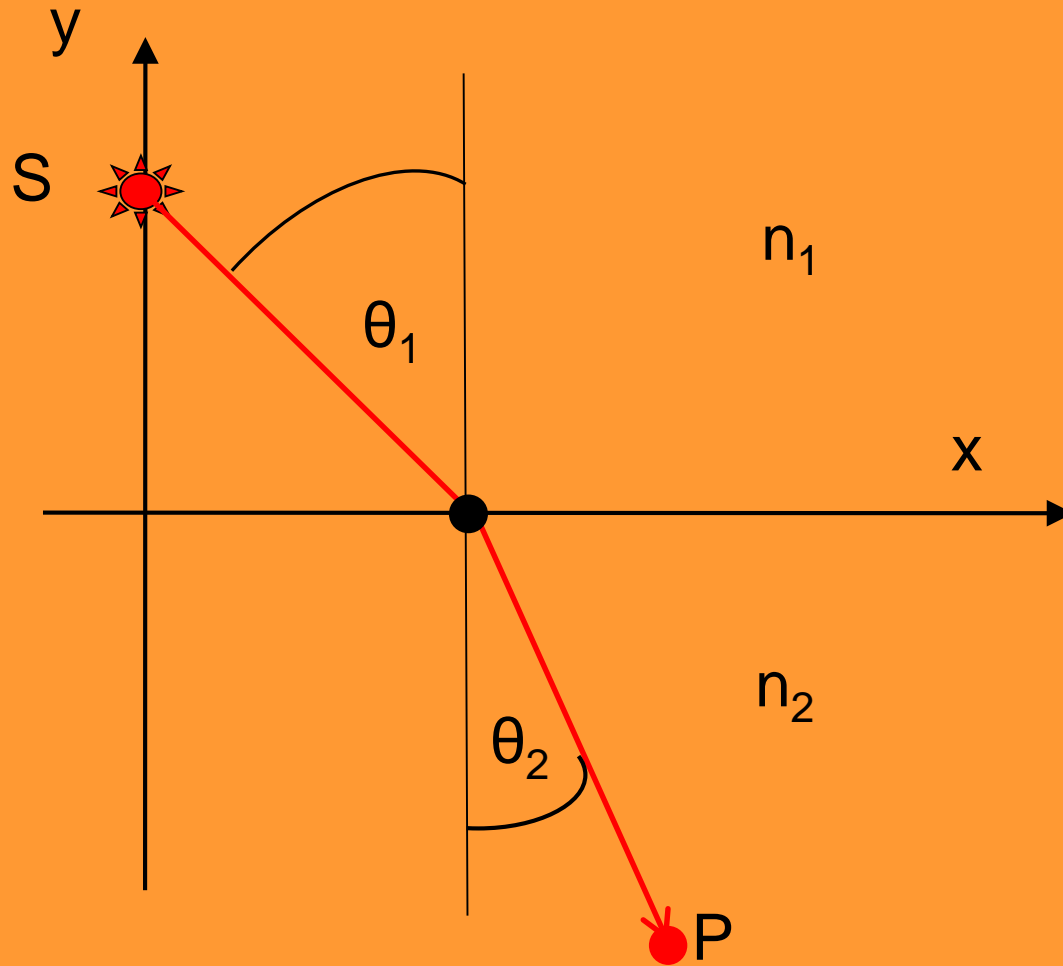
- Pravolinisko prostiranje u homogenoj sredini
- Nezavisnost svetlosnih zraka
- Zakon odbijanja svetlosti
- Zakon prelamanja svetlosti

Zakoni geometriske optike su posledica Fermaovog principa: Svetlosni zrak će se kretati između dve tačke po putanji koja zahteva najkraće vreme.

Primena Fermaovog principa na prelamanje

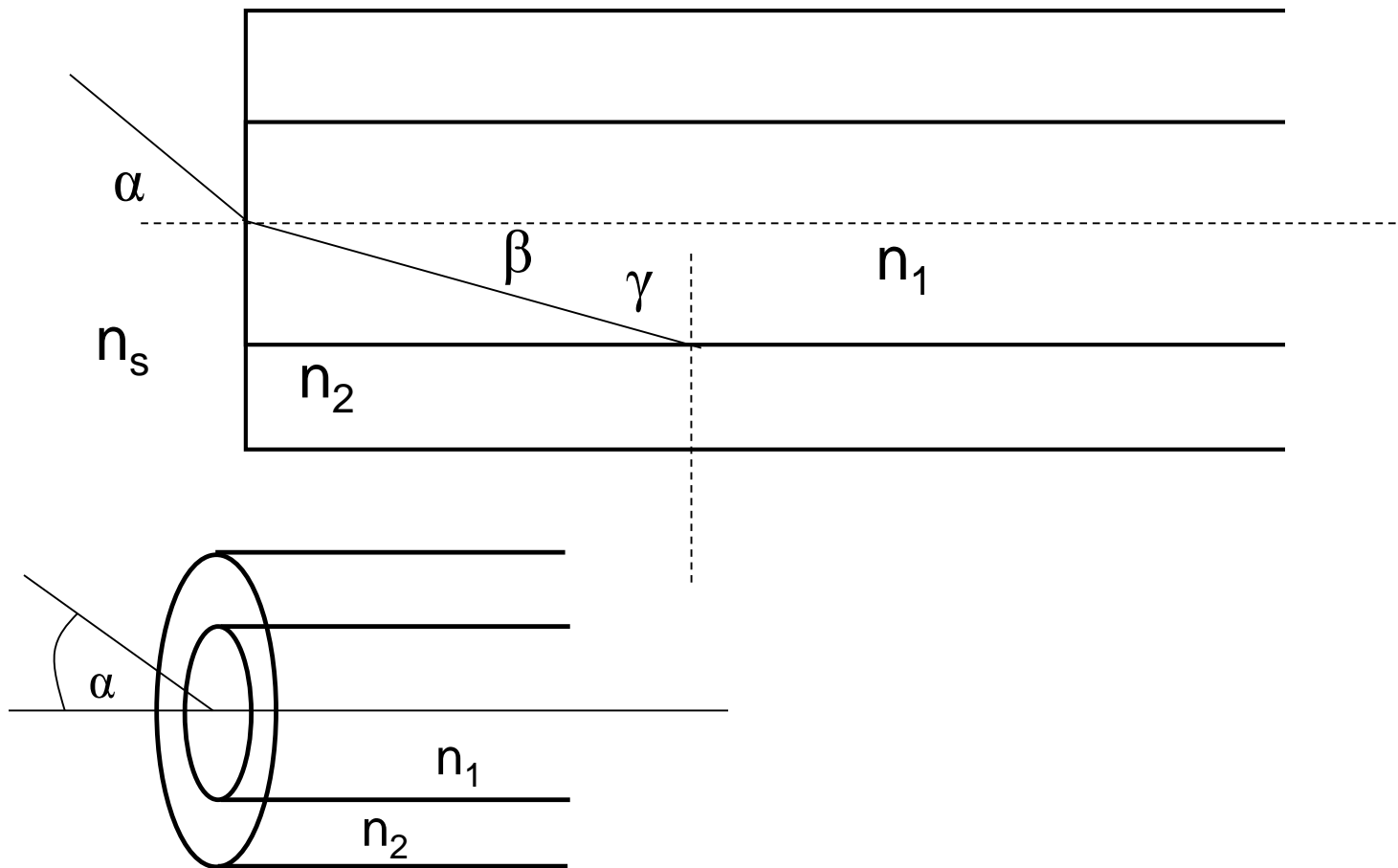


Šnelov zakon

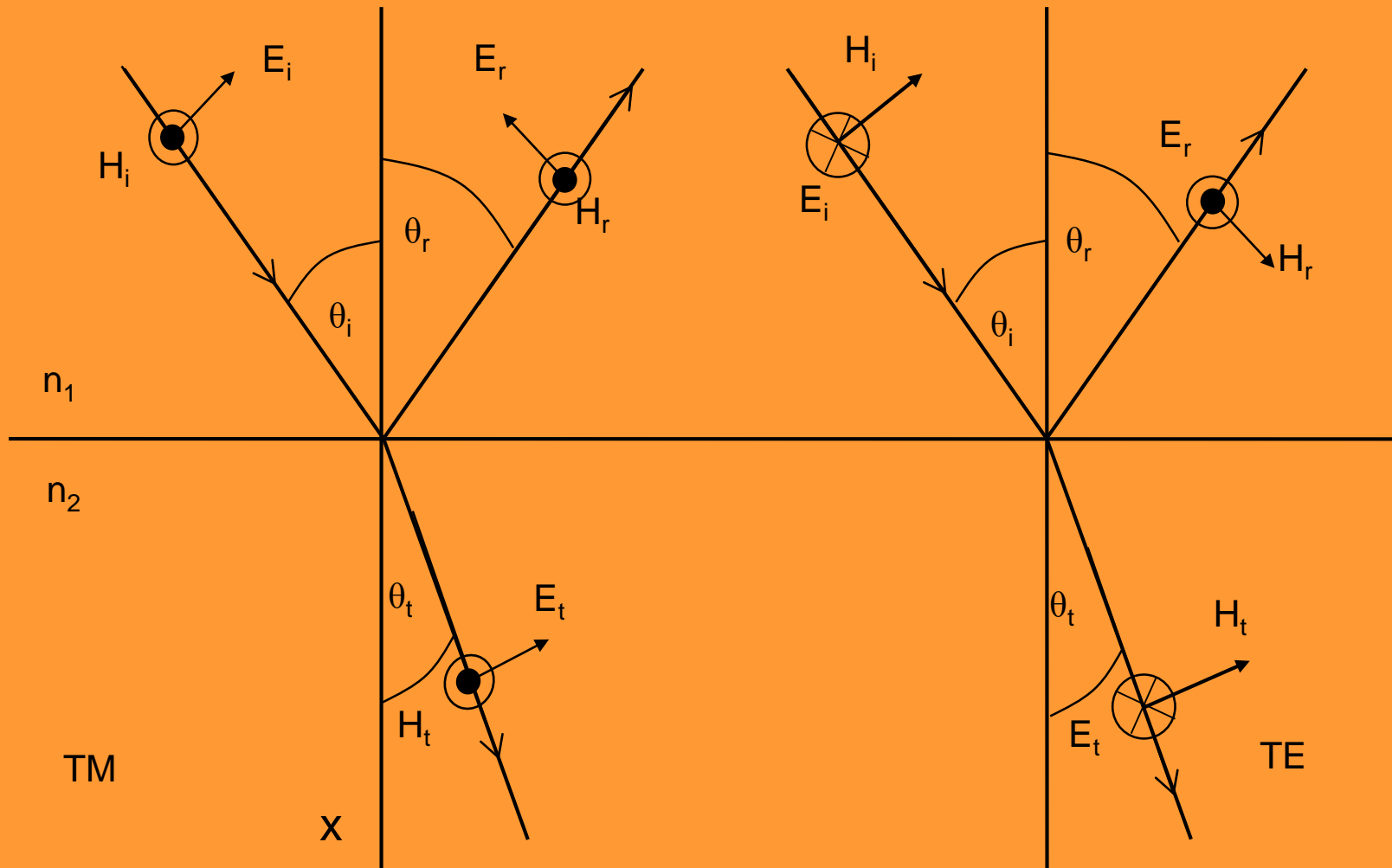


$$n_1 \sin \theta_1 = n_2 \sin \theta_2$$

Totalna unutrašnja refleksija



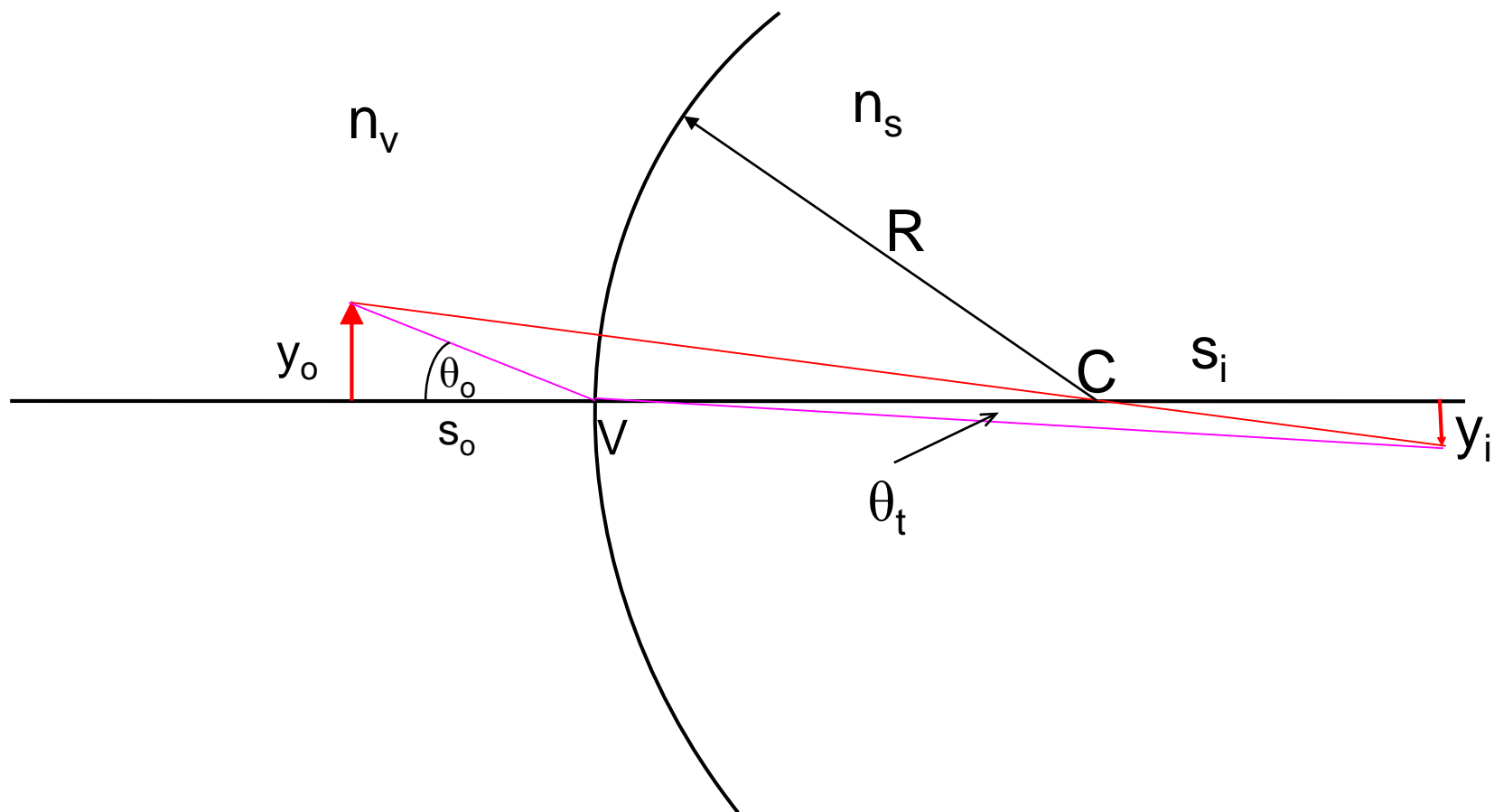
Frenelovi koeficijenti



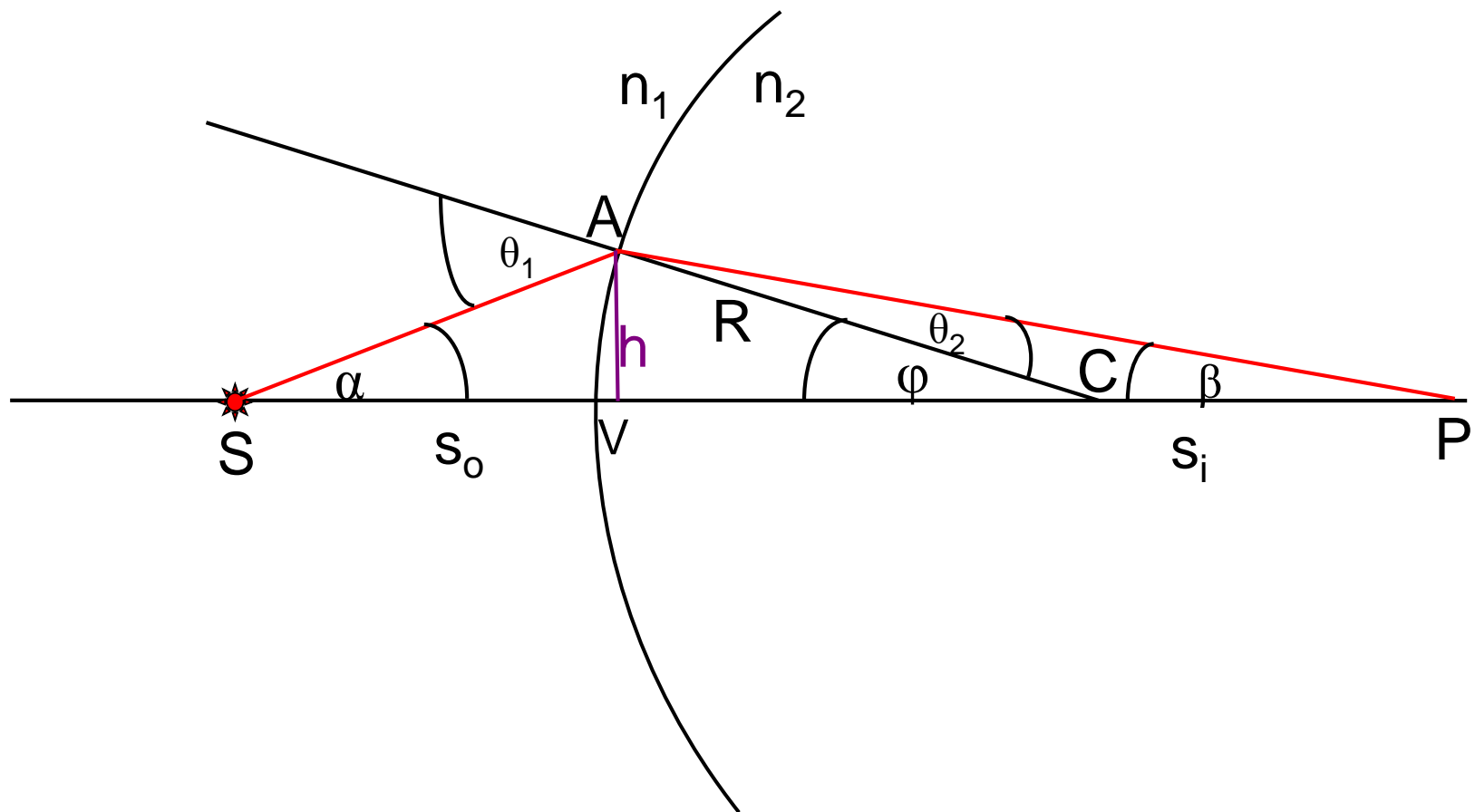
Polarizzazioni (Brusterov) ugao

$$\operatorname{tg} \theta_P = \frac{n_2}{n_1}$$

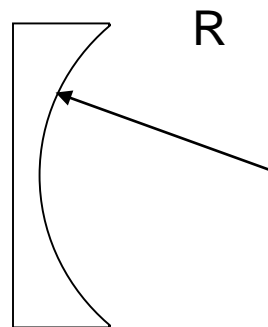
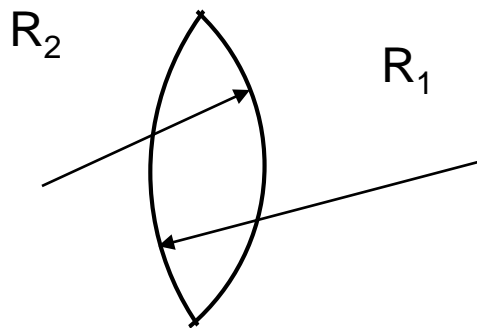
Prelamanje na sfernoj površini



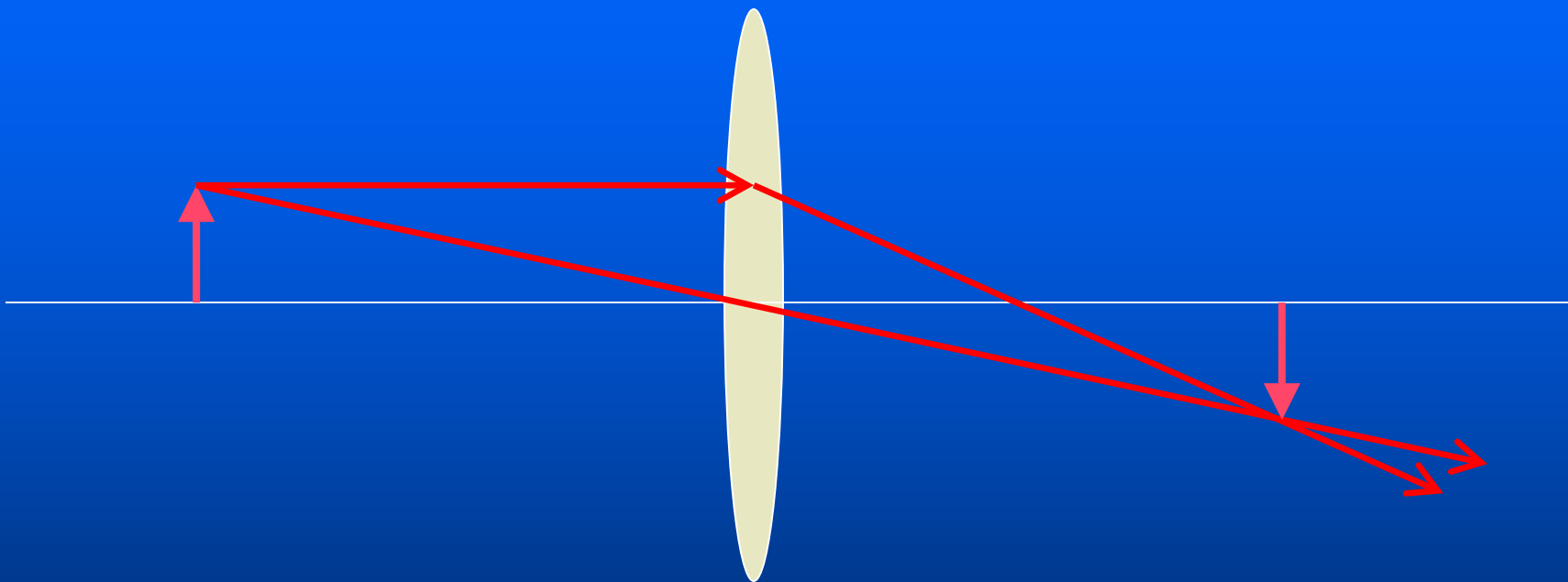
Prelamanje na sfernoj površini



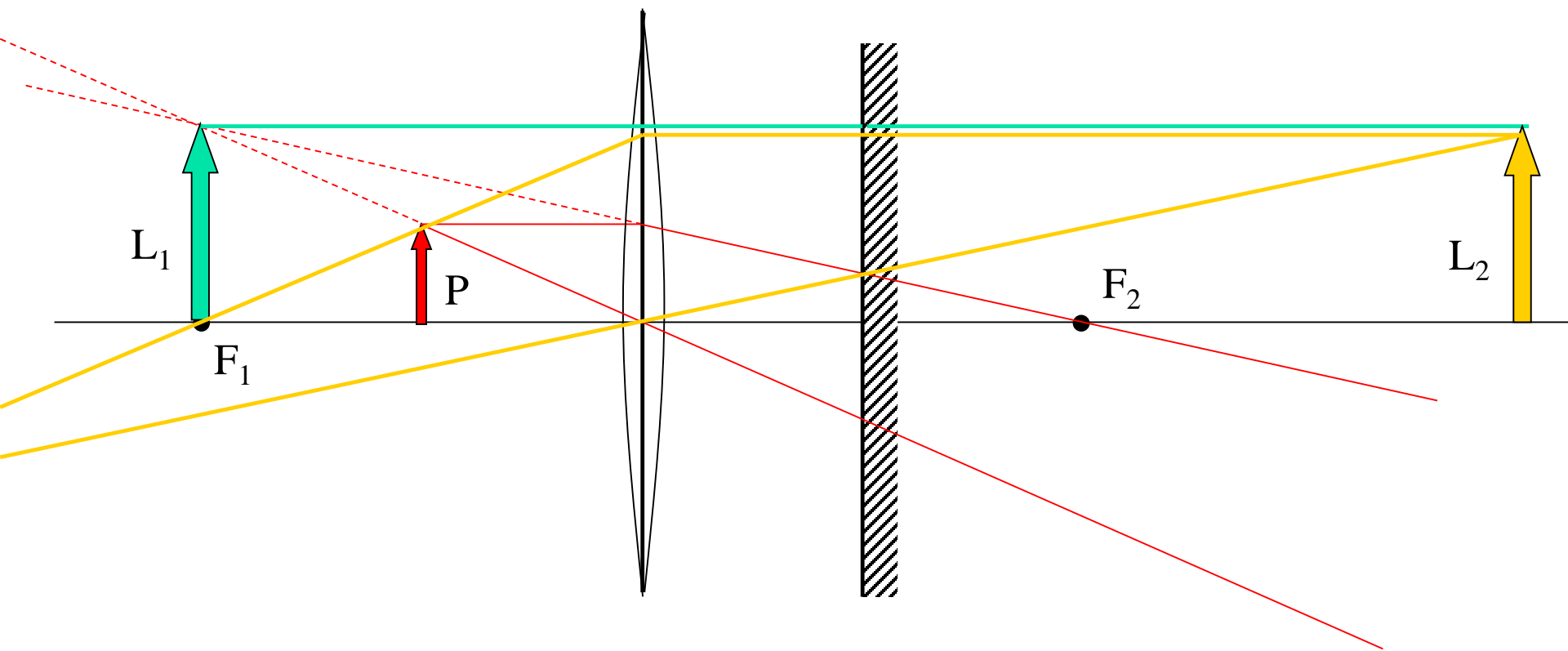
Sferna sočiva



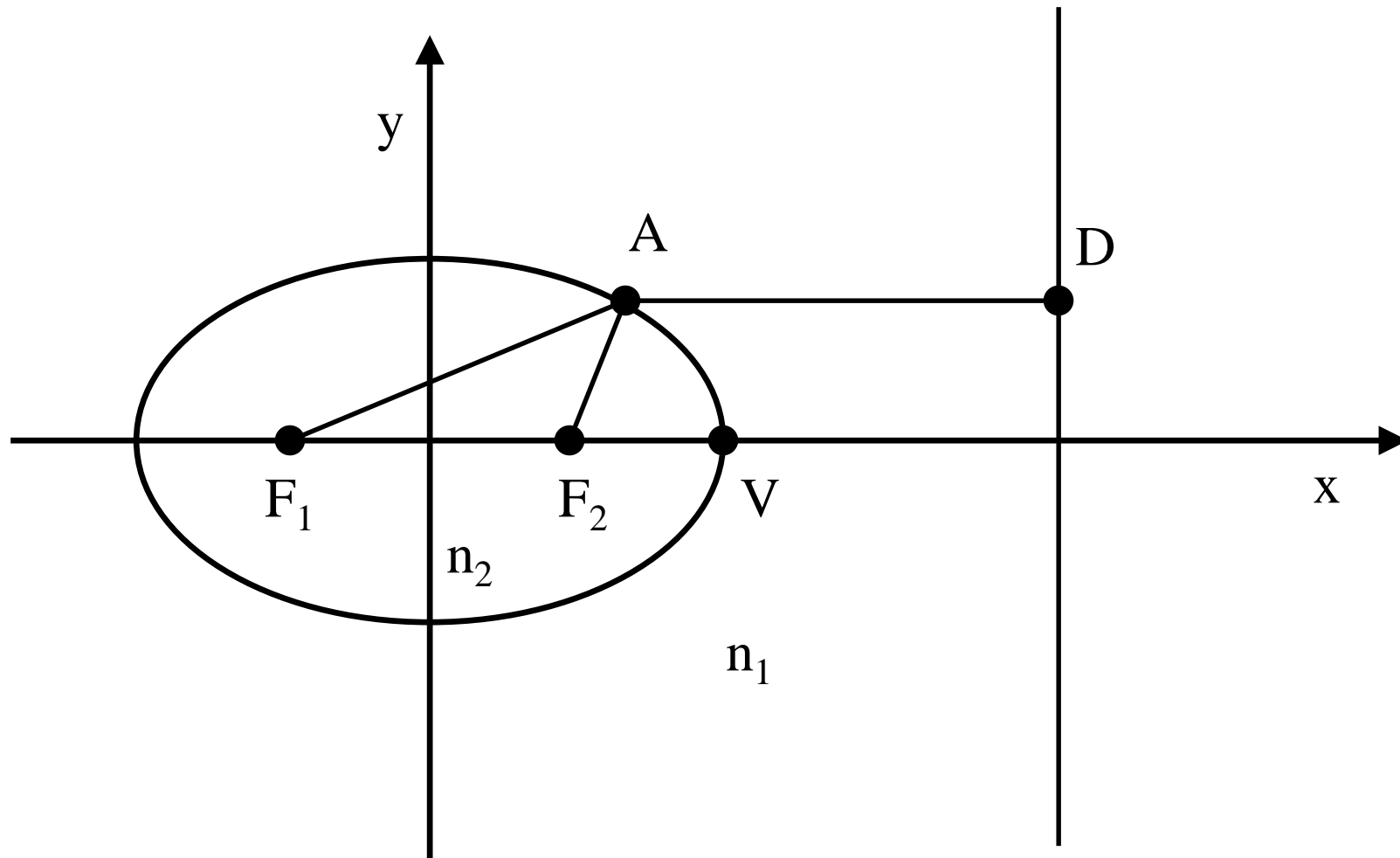
Sferna sočiva



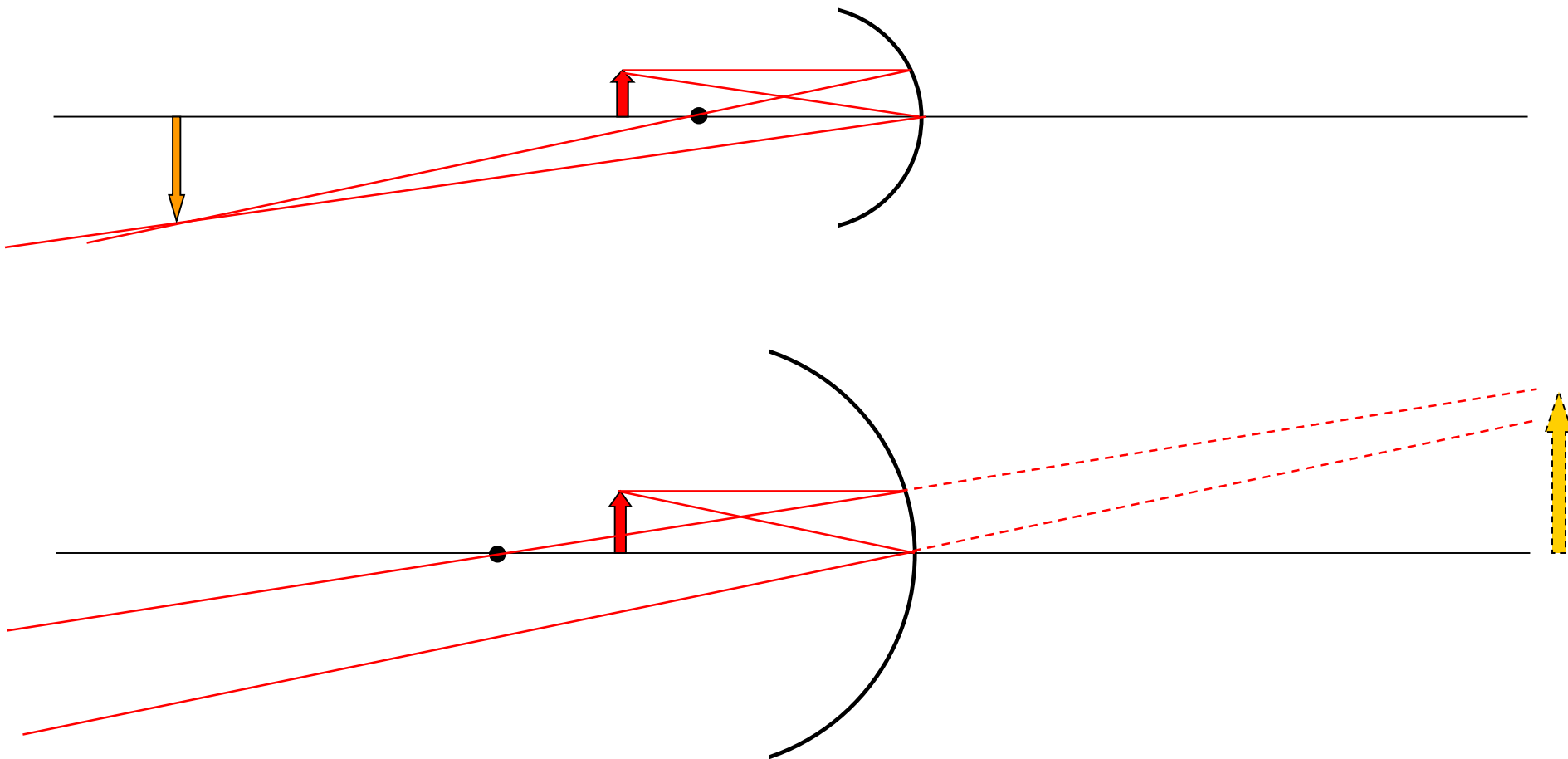
Optički sistemi



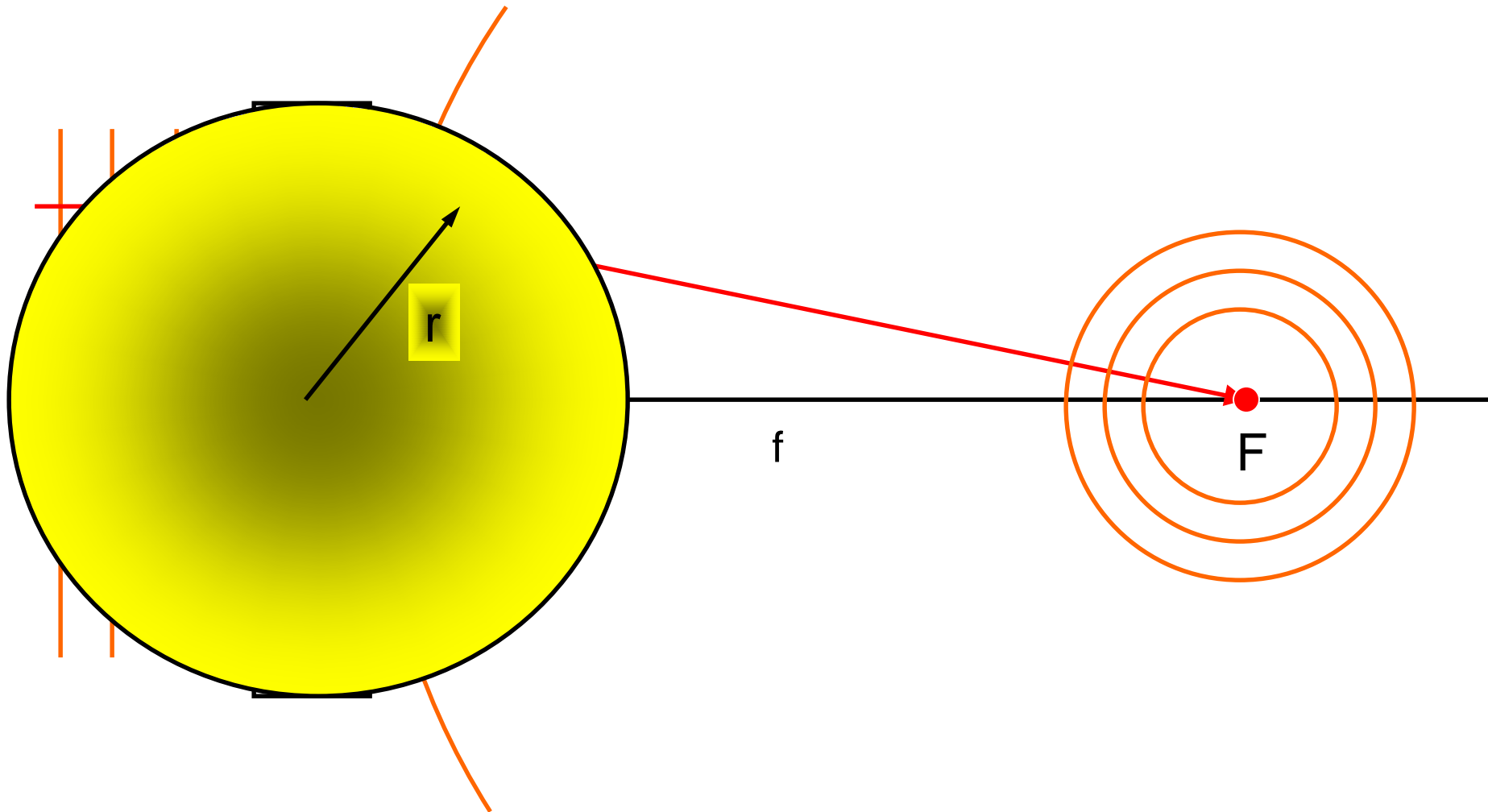
Aberacije sočiva



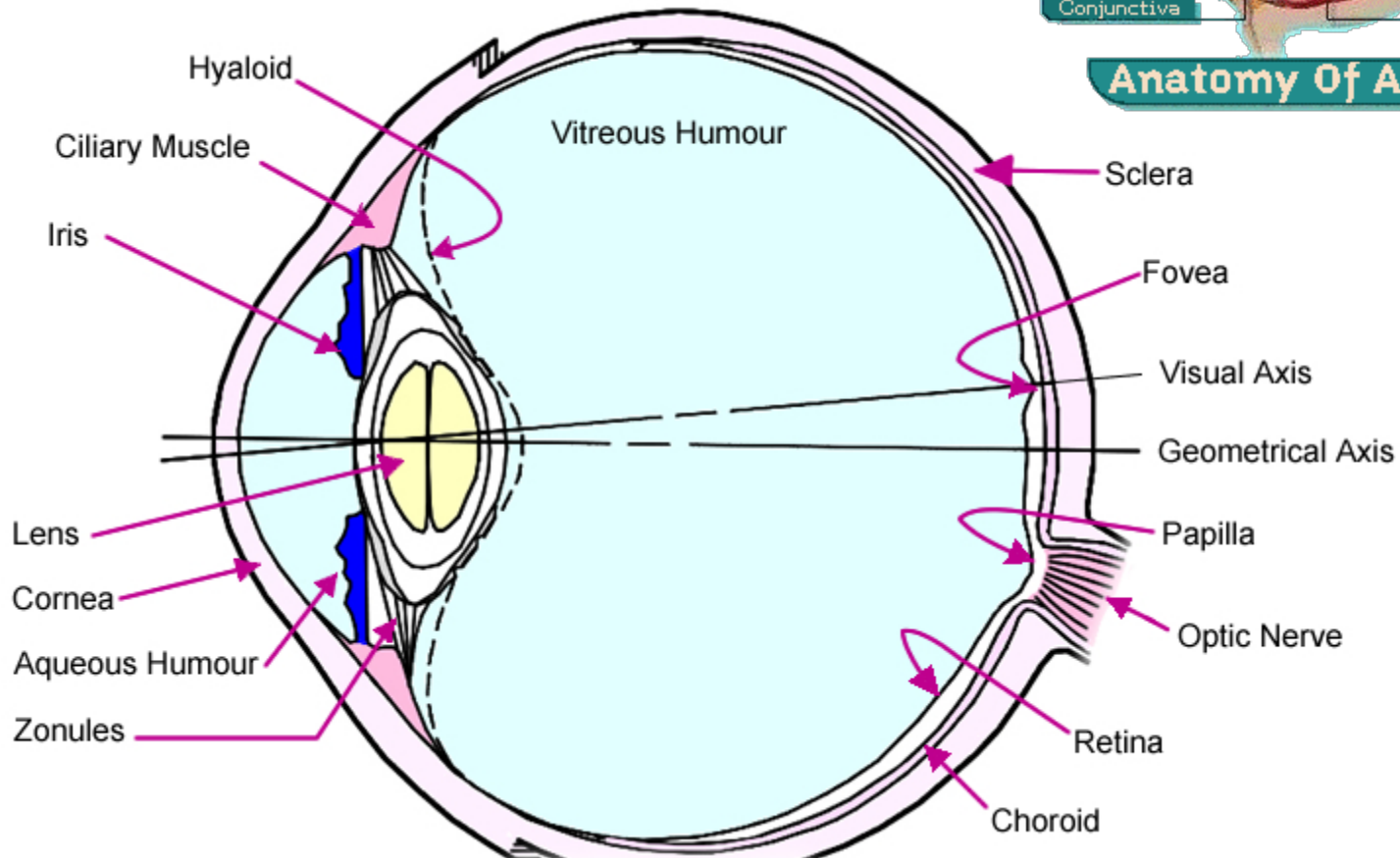
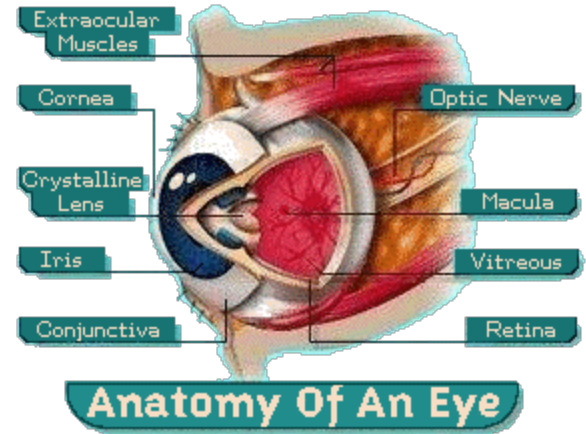
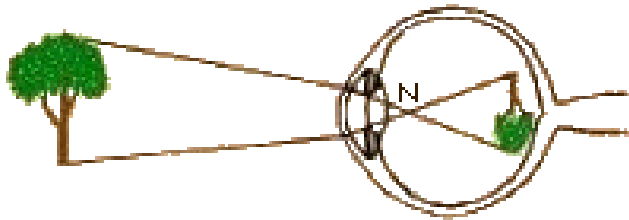
Ogledala



GRIN sočiva



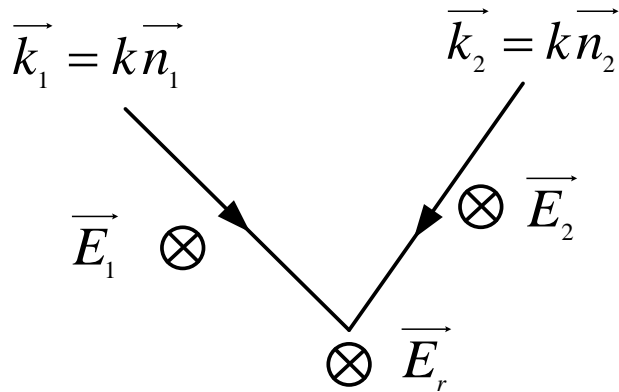
Optički instrumenti, prizme, oko...



Talasna optika

The background of the slide is a dark blue gradient. Overlaid on this are several thick, parallel diagonal stripes in a lighter shade of blue, running from the top-left towards the bottom-right. The stripes are spaced evenly and create a sense of depth and movement.

Interferencija



$$E_1 = E_{10} \sin(k\vec{n}_1\vec{r} - \omega t + \varphi_1)$$

$$E_2 = E_{20} \sin(k\vec{n}_2\vec{r} - \omega t + \varphi_2)$$

$$E_r = E_1 + E_2$$

$$I \propto \overline{E_r^2}$$

$$E_r^2 = E_{10}^2 \sin^2(k\vec{n}_1\vec{r} - \omega t + \varphi_1) + E_{20}^2 \sin^2(k\vec{n}_2\vec{r} - \omega t + \varphi_2) +$$

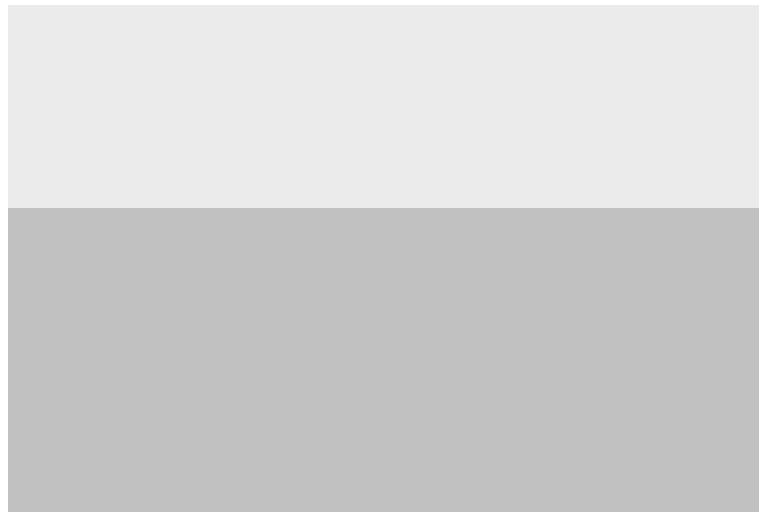
$$2E_{10}E_{20} \frac{1}{2} \left[\cos(k(\vec{n}_1 - \vec{n}_2)\vec{r} + (\varphi_1 - \varphi_2)) - \cos(k(\vec{n}_1 - \vec{n}_2)\vec{r} - 2\omega t + (\varphi_1 + \varphi_2)) \right]$$

$$\frac{1}{T} \int_0^T \sin^2(\alpha - \omega t) dt = \frac{1}{2} \Rightarrow I_r = I_1 + I_2 + 2\sqrt{I_1 I_2} \cos \delta$$

$$\delta = \frac{2\pi(\vec{n}_1 - \vec{n}_2)\vec{r}}{\lambda} + \Delta\varphi, \quad \Delta\varphi = \varphi_1 - \varphi_2$$

$$I_r = I_1 + I_2 + 2\sqrt{I_1 I_2} \cos \delta \cos \alpha$$

Antirefleksioni slojevi



Young-ov eksperiment

$$\delta = \frac{2\pi(s_2 - s_1)}{\lambda}$$

$$s_2 + s_1 \approx 2D \Rightarrow s_2 - s_1 = yd / D \Rightarrow \delta = \frac{2\pi yd}{\lambda D}$$

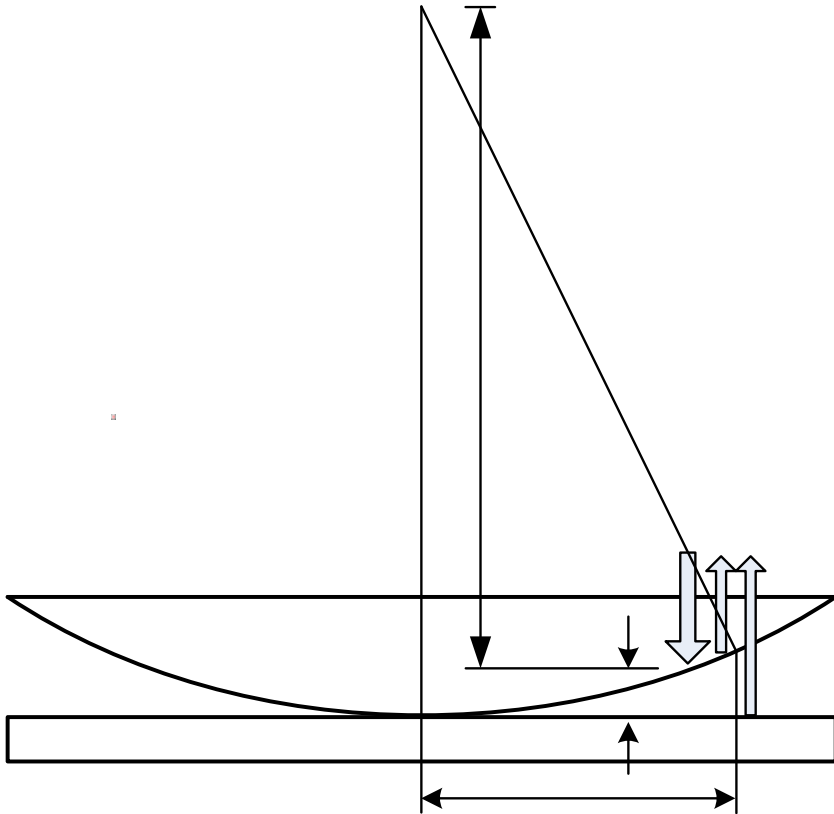
$$s_2^2 = D^2 + (y + d/2)^2$$

$$\text{prvi maksimum} \Rightarrow \delta = 2\pi \Rightarrow \lambda = yd / D = 500 \text{ nm}$$

$$s_1^2 = D^2 + (y - d/2)^2$$

$$s_2^2 - s_1^2 = (s_2 - s_1)(s_2 + s_1) = 2yd$$

Newton-ovi prstenovi



$$\varphi_1 = \pi + \frac{2\pi}{\lambda} 2d, \quad \varphi_2 = 0$$

$$R^2 = (R-d)^2 + r_m^2 \Rightarrow d \approx \frac{r_m^2}{2R}$$

$$\delta = \varphi_1 - \varphi_2 = m\pi \Rightarrow r_m^2 = (m - 1/2)R\lambda$$

$$S = (r_{m+1}^2 - r_m^2)\pi = \pi R\lambda$$

Difrakcija

- Frančesko Grimaldi (XVII vek)

- Hajgens-Frenelov princip

Svaka tačka talasnog fronta, u datom trenutku, služi kao izvor sekundarnih talasa, koji imaju istu frekvenciju kao i primarni talas. Amplituda optičkog polja u bilo kojoj tački je superpozicija svih sekundarnih talasa, uzimajući u obzir njihove amplitude i relativne faze.

- Kirhofova teorija

- Zomerfeldovo rešenje



Difrakcija



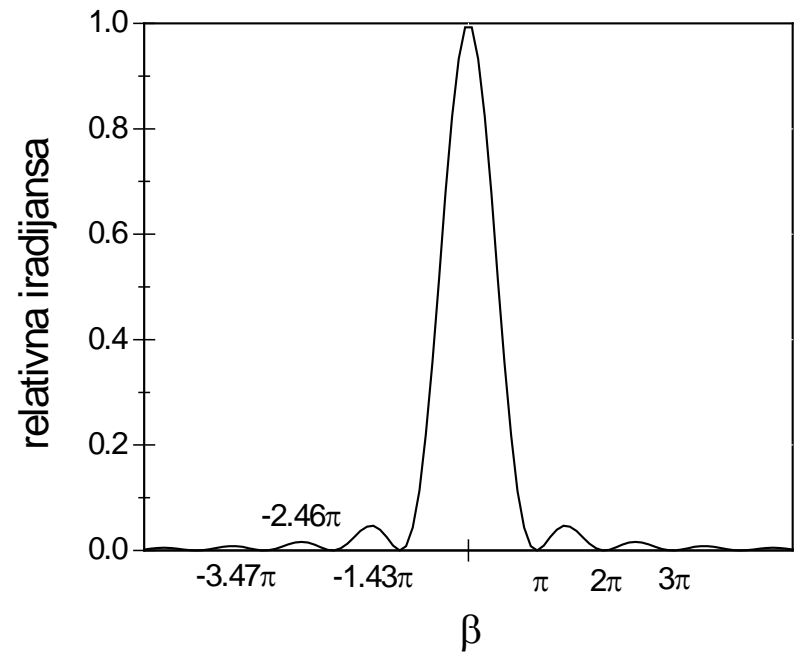
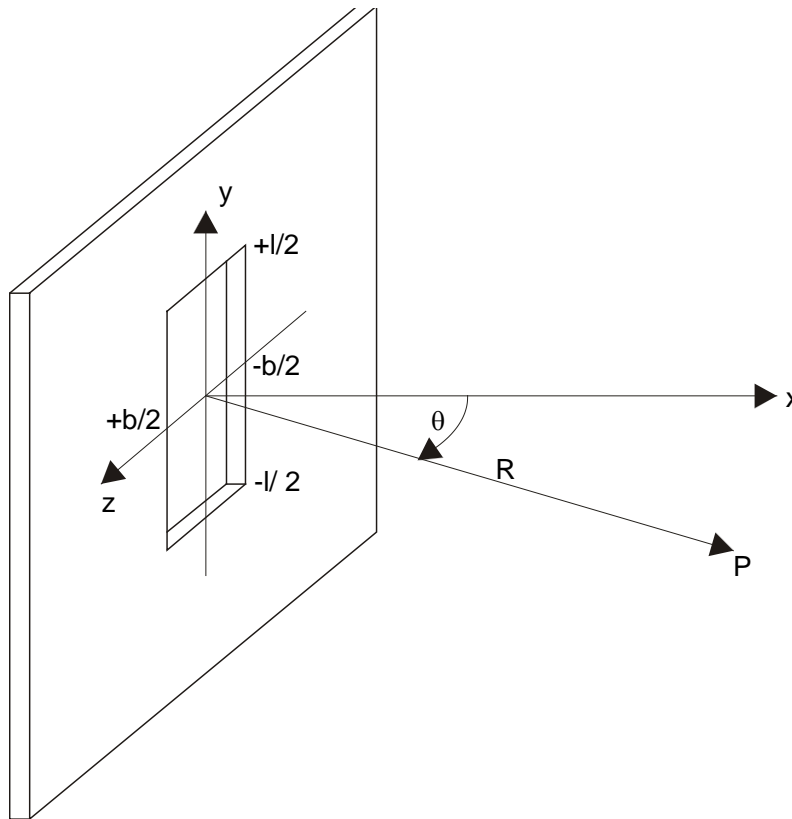
- Frenelova



- Fraunhoferova

Fraunhoferova difrakcija

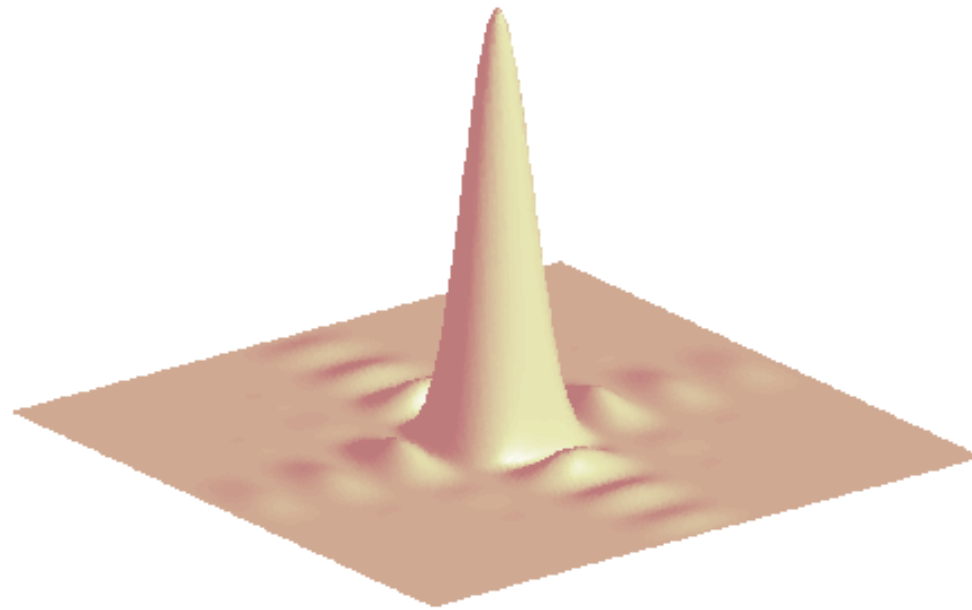
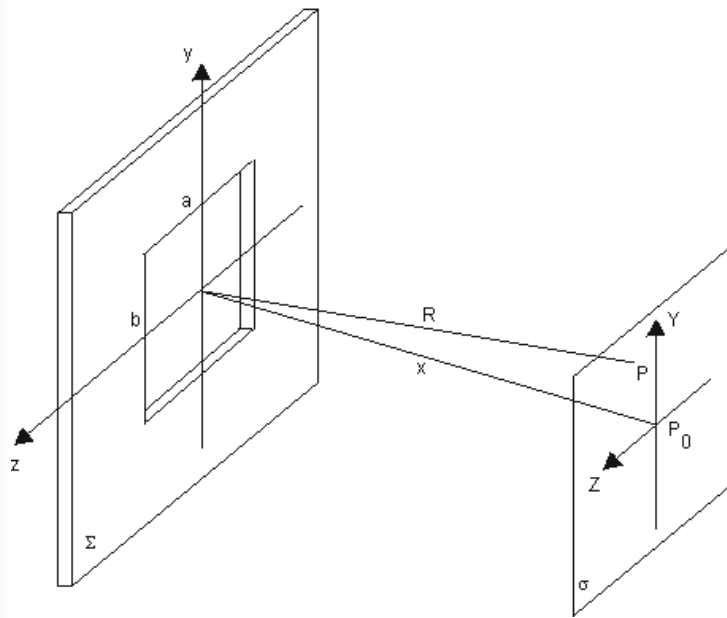
Difrakcija na jednom prorezu



$$I(\theta) = I(0) \left(\frac{\sin \beta}{\beta} \right)^2$$

$$\beta = (kb/2) \sin \theta$$

Difrakcija na pravougaonom otvoru



$$I(Y, Z) = I(0) \left(\frac{\sin \alpha'}{\alpha'} \right)^2 \left(\frac{\sin \beta'}{\beta'} \right)^2$$

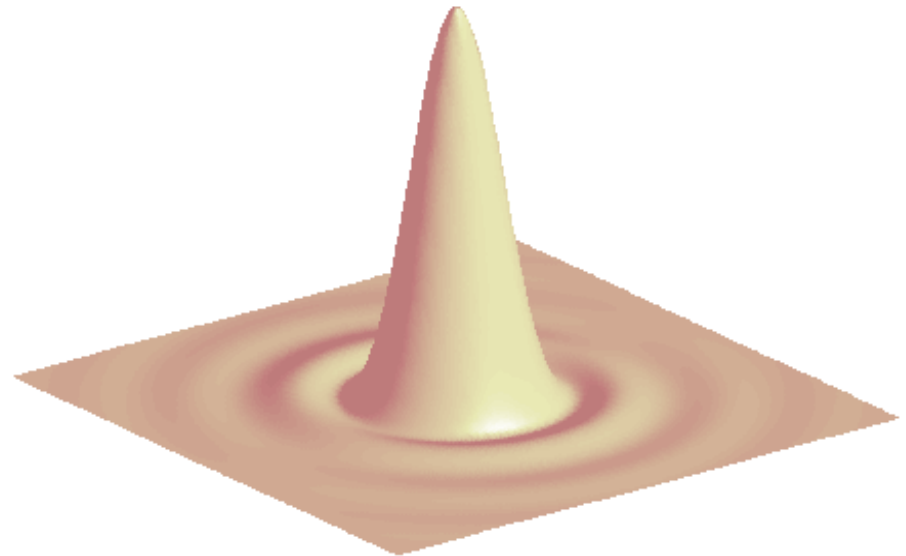
$$\alpha' = kaZ/2R \quad \beta' = kbY/2R$$

Difrakcija na kružnom otvoru

$$I = I(0) \left[\frac{2J_1(ka \sin \theta)}{ka \sin \theta} \right]^2$$

- Ejrijev disk

$$q_1 = 1.22 \frac{R\lambda}{2a}$$



Frenelova difrakcija

- Neemitovanje sekundarnih talasa ka izvoru

- Faktor inklinacije:

$$K(\theta) = \frac{1}{2}(1 + \cos \theta)$$

- Frenelovi integrali:

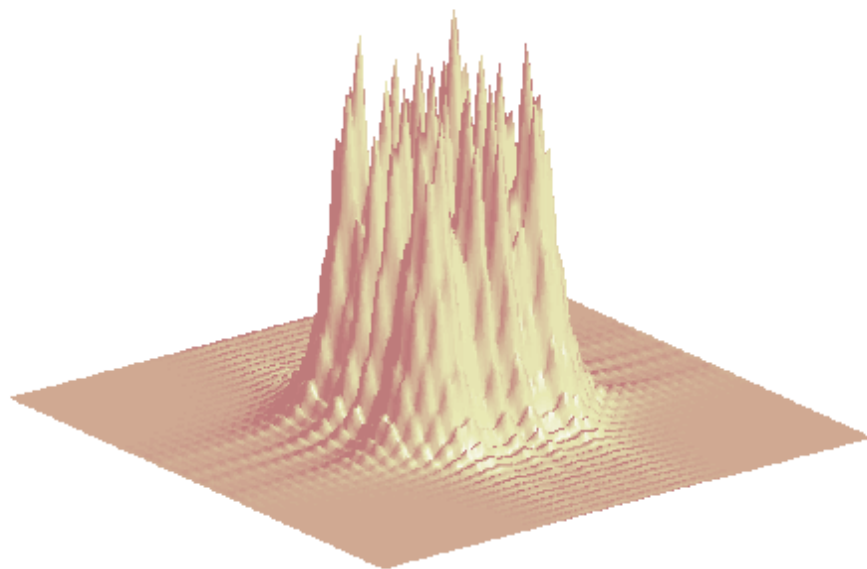
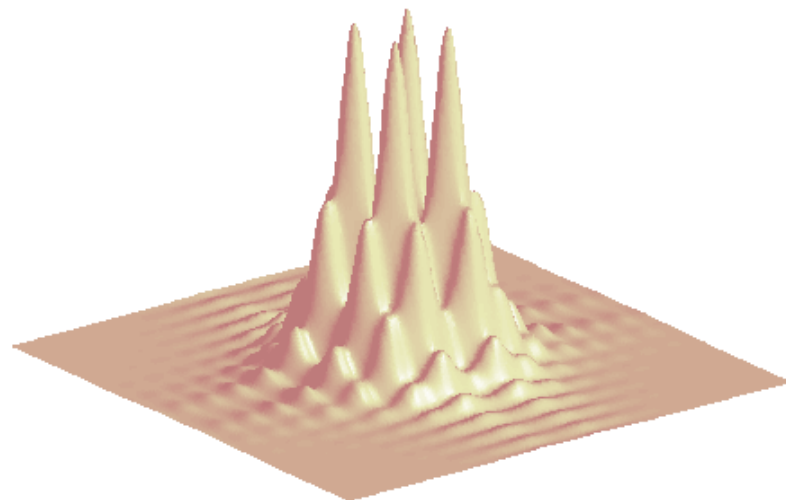
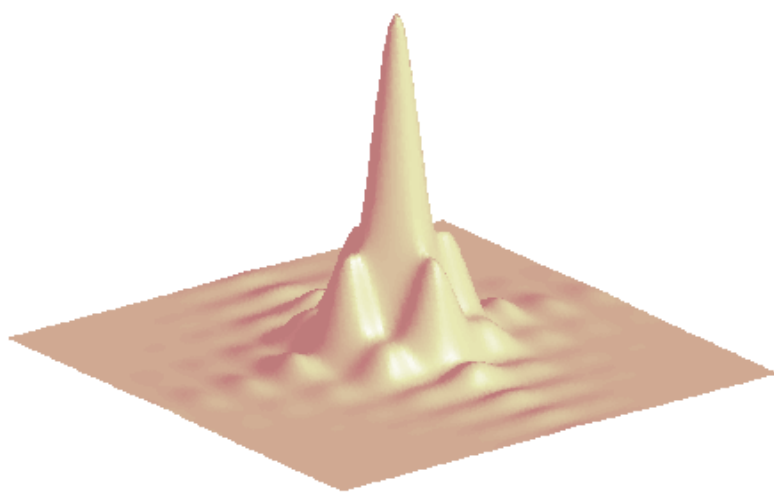
$$C(w) = \int_0^w \cos(\pi w'^2) dw',$$

$$S(w) = \int_0^w \sin(\pi w'^2) dw'$$

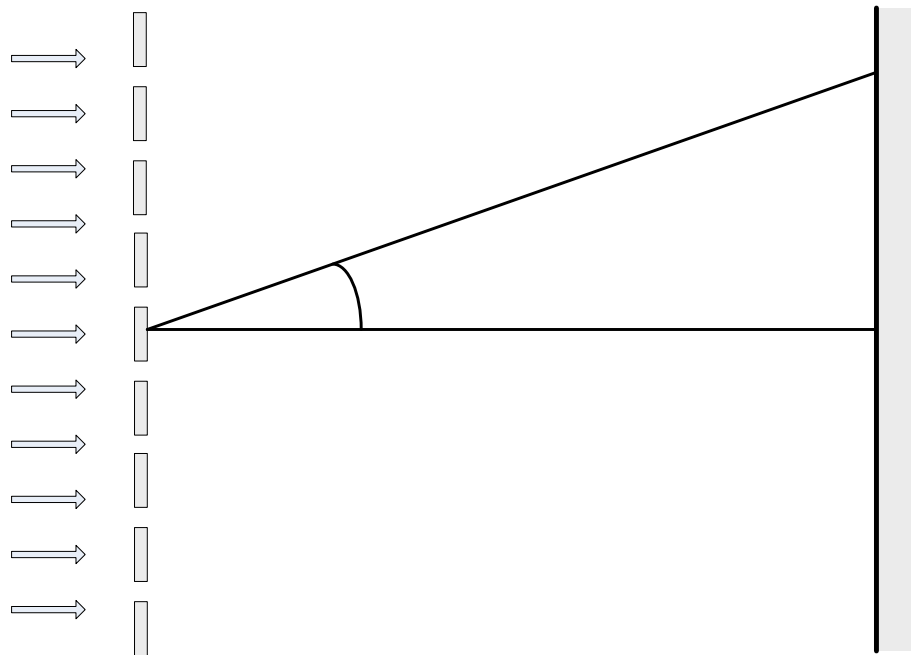
- Kornuova spirala:

$$B(w) = C(w) + iS(w) \\ (-\infty < w < +\infty)$$

Difrakcija na kvadratnom otvoru



Difrakciona rešetka



$$d \sin \theta_z = z\lambda, \quad d = 1/N = 2.5 \cdot 10^{-6} \text{ m}$$

gde je z redni broj maksimuma,

a θ_z ugao skretanja

$$\theta_{z_{\max}} = \pi/2 \Rightarrow z_{\max} = 4$$

$$N = 2z_{\max} + 1 \text{ (centralni maksimum)}$$

$$N = 9$$